

# CGANT

Journal of  
Mathematics  
and Applications



# EDITORIAL TEAM

## HONORARY EDITOR

Prof, Drs Dafik, M.Sc, Ph.D, University of Jember, Indonesia

## EDITOR IN CHIEF

Zainur Rasyid Ridlo, S.Pd, M.Pd, University of Jember, Indonesia

## MANAGING EDITORS

Dr. Ika Hesti Agustin, S.Si., M.Si., University of Jember, Indonesia  
Dr. Arika Indah Kristiana, S.Si., M.Pd., University of Jember, Indonesia  
Ridho Alfarisi, S.Pd., M.Si., University of Jember, Indonesia  
Rafiantika Megahnia Prihandini, S.Pd., M.Si., University of Jember, Indonesia  
Robiatul Adawiyah, S.Pd., M.Si., University of Jember, Indonesia

## GRAPHICAL EDITORS

Rosanita Nisviasari, S.Si., M.Si., University of Jember, Indonesia  
Ika Nur Maylisa, S.Pd., M.Pd., University of Jember, Indonesia

## LAYOUTING EDITORS

Elsa Yuli Kurniawati, S.Pd., M.Si., University of Jember, Indonesia  
Dwi Agustin Retno Wardani, S.Si., M.Si., University of Jember, Indonesia  
Rifki Ilham Baihaqi, S.Si, M.Mat, University of Jember, Indonesia

## VOL 2, NO 1 (2021)
























## CGANT JOURNAL OF MATHEMATICS AND APPLICATIONS

DOI: <https://doi.org/10.25037/cgantjma.v2i1>

Available Online Since June 2021

## TABLE OF CONTENTS

## ARTICLES

<p><b>Pewarnaan Sisi <math>r</math>-Dinamis pada Graf Khusus dan Graf Operasi Sakel</b></p> <p> DOI : <a href="https://doi.org/10.25037/cgantjma.v2i1.47">10.25037/cgantjma.v2i1.47</a>    Abstract views : 117 times</p> <p><i>Viqedina Rizky Noviyanti, Kusbudiono Kusbudiono, Ika Hesti Agustin, Dafik Dafik</i></p>	PDF 
<p><b>Metric Dimension dan Non-Isolated Resolving Number pada Beberapa Graf</b></p> <p> DOI : <a href="https://doi.org/10.25037/cgantjma.v2i1.48">10.25037/cgantjma.v2i1.48</a>    Abstract views : 94 times</p> <p><i>Wahyu Nikmatius Sholihah, Dafik Dafik, Kusbudiono Kusbudiono</i></p>	PDF 
<p><b>Pewarnaan Ketakteraturan Lokal Inklusif pada Keluarga Graf Pohon Tree</b></p> <p> DOI : <a href="https://doi.org/10.25037/cgantjma.v2i1.49">10.25037/cgantjma.v2i1.49</a>    Abstract views : 125 times</p> <p><i>Umi Azizah Anwar, Arika Indah Kristiana, Arif Fatahillah, Dafik Dafik, Ridho Alfarisi</i></p>	PDF 
<p><b>Analisa Antimagicness Super dari Shackle Graf Parasut dan Aplikasinya pada Polyalphabetic Cipher</b></p> <p> DOI : <a href="https://doi.org/10.25037/cgantjma.v2i1.50">10.25037/cgantjma.v2i1.50</a>    Abstract views : 87 times</p> <p><i>Riza Nurfadila, Ika Hesti Agustin, Kusbudiono Kusbudiono</i></p>	PDF 
<p><b>Analisa Pewarnaan Total <math>r</math>-Dinamis pada Graf Lintasan dan Graf Hasil Operasi</b></p> <p> DOI : <a href="https://doi.org/10.25037/cgantjma.v2i1.51">10.25037/cgantjma.v2i1.51</a>    Abstract views : 107 times</p> <p><i>Desi Febriani Putri, Dafik Dafik, Kusbudiono Kusbudiono</i></p>	PDF 
<p><b>Analisa Antimagic Total Covering Super pada Eksponensial Graf Khusus dan Aplikasinya dalam Mengembangkan Chipertext</b></p> <p> DOI : <a href="https://doi.org/10.25037/cgantjma.v2i1.52">10.25037/cgantjma.v2i1.52</a>    Abstract views : 92 times</p> <p><i>Hani'ah Zakin, Ika Hesti Agustin, Kusbudiono Kusbudiono, Dafik Dafik</i></p>	PDF 
<p><b>Analisis Rainbow Vertex Connection pada Beberapa Graf Khusus dan Operasinya</b></p> <p> DOI : <a href="https://doi.org/10.25037/cgantjma.v2i1.53">10.25037/cgantjma.v2i1.53</a>    Abstract views : 72 times</p> <p><i>Ida Ariska, Dafik Dafik, Ika Hesti Agustin</i></p>	PDF 
<p><b>Konstruksi Rak Penataan Gelas Air Minum Menggunakan Hasil Deformasi Benda-Benda Geometri dan Kurva Bezier</b></p> <p> DOI : <a href="https://doi.org/10.25037/cgantjma.v2i1.54">10.25037/cgantjma.v2i1.54</a>    Abstract views : 70 times</p> <p><i>Hikmah Ardiantika Sari, Bagus Juliyanto, Firdaus Ubaidillah</i></p>	

## Pewarnaan Sisi $r$ -Dinamis pada Graf Khusus dan Graf Operasi Sakel

Viqedina Rizky Noviyanti<sup>1,2</sup>, Kusbudiono<sup>1,2</sup>, Ika Hesti A.<sup>1,2</sup>, Dafik<sup>1,3</sup>

<sup>1</sup>CGANT - Universitas Jember

<sup>2</sup>Jurusan Matematika FMIPA Universitas Jember

<sup>3</sup>Program Studi Pendidikan Matematika FKIP Universitas Jember

viqedina@gmail.com, kusbudiono@unej.ac.id, hestyarin@gmail.com, d.dafik@unej.ac.id

### Abstract

Let  $G = (V(G), E(G))$  be a nontrivial connected graph. The edge coloring is defined as  $c : E(G) \rightarrow \{1, 2, \dots, k\}$ ,  $k \in \mathbb{N}$ , with the condition that no adjacent edges have the same color.  $k$ -color  $r$ -dynamic is an edge coloring of  $k$ -colors such that each edge in neighboring  $E(G)$  is at least  $\min\{r, d(u) + d(v) - 2\}$  has a different color. The dynamic  $r$ -edge coloring is defined as a mapping of  $c$  from  $E(G)$  such that  $|c(N(uv))| = \min\{r, d(u) + d(v) - 2\}$ , where  $N(uv)$  is the neighbor of  $uv$  and  $c(N(uv))$  is the color used by the neighboring side of  $uv$ . The minimum value of  $k$  so that the graph  $G$  satisfies the  $k$ -coloring  $r$ -dynamic edges is called the dynamic  $r$ -edge chromatic number. 1-dynamic chromatic number is denoted by  $\lambda(G)$ , 2-dynamic chromatic number is denoted by  $\lambda_d(G)$  and for dynamic  $r$ -chromatic number is denoted by  $\lambda_r(G)$ . The graphs that used in this study are graph  $TL_n$ ,  $TCL_n$  and the switch operation graph  $shack(H_{2,2}, v, n)$ .

**Keywords :**  $r$ -dynamic edge coloring,  $r$ -dynamic edge chromatic number, special graphs, shackle graph

Mathematics Subject Classification: 05C15

### Pendahuluan

Graf didefinisikan sebagai pasangan himpunan  $(V, E)$  ditulis dengan notasi  $(G = V, E)$ , yang mana  $V$  merupakan himpunan tak kosong yang anggotanya disebut titik (*vertex*) dan  $E$  merupakan himpunan yang elemen-elemennya dinamakan sisi (*edge*). Sebuah graf  $G$  dimungkinkan tidak memiliki sisi, tetapi harus memiliki titik minimal satu. Sebuah graf yang tidak memiliki sisi tetapi memiliki sebuah titik saja disebut dengan graf trivial [7]. Salah satu kajian dalam teori graf adalah pewarnaan graf. Pewarnaan graf merupakan suatu fungsi yang memetakan unsur-unsur graf (titik dan sisi) ke suatu sembarang himpunan. Jika daerah asal adalah sebuah sisi disebut dengan pewarnaan sisi. Jika daerah asal adalah titik maka disebut dengan pewarnaan titik [6]. Misalkan  $G = (V(G), E(G))$  adalah suatu graf terhubung tak-trivial. Suatu pewarnaan terhadap sisi-sisi  $G$  didefinisikan sebagai  $c : E(G) \rightarrow \{1, 2, \dots, k\}$ ,  $k \in \mathbb{N}$ , dimana dua sisi yang bertetangga memiliki warna yang berbeda. Penggunaan warna yang paling minimum disebut dengan bilangan kromatik, dan selalu memenuhi Teorema 1 sebagai berikut.

**Teorema 1 [1]** Jika  $G$  adalah graf sederhana, maka  $\Delta(G) \leq \lambda(G) \leq \Delta(G) + 1$



Salah satu kajian dalam teori graf adalah pewarnaan sisi  $r$ -dinamis yang digeneralisasikan dari pewarnaan titik  $r$ - dinamis.

**Definisi 1.** *Pewarnaan sisi  $r$ -dinamis pada suatu graf  $G$  didefinisikan sebagai pemetaan  $c$  dari  $E$  ke himpunan warna sedemikian hingga memenuhi kondisi berikut:*

1. jika  $e = uv, f = vwe \in E(G)$  maka  $c(e) \neq c(f)$ , dan
2.  $\forall e = uv \in E(G), |c(N(e))| \geq \min\{r, d(u) + d(v) - 2\}$ .

[2] Untuk mendapatkan nilai kromatik  $r$  dinamis dirumuskan oleh Observasi 1 sebagai berikut.

**Observasi 1** [4] *Misal  $G$  adalah graf terhubung dan  $\lambda$  merupakan bilangan kromatik dinamis maka berlaku  $\lambda_r(G) \leq \lambda_{r+1}(G)$ .*

Berikut beberapa definisi operasi graf yang dipakai dalam penelitian ini.

**Definisi 2.** [3] *Shackle dari graf  $H$  dinotasikan dengan  $G = shack(H, v, n)$  adalah graf  $G$  yang dibangun dari graf non trivial  $H_1, H_2, \dots, H_n$  sedemikian hingga untuk setiap  $1 \leq s, t \leq n, H_s$  dan  $H_t$  tidak memiliki titik penghubung dimana  $|s - t| \geq 2$  dan untuk setiap  $1 \leq i \leq n - 1, H_i$  dan  $H_{i+1}$  memiliki tepat satu titik bersama  $v$ , disebut dengan titik penghubung dan  $k - 1$  titik penghubung tersebut adalah berbeda. Jika  $G = shack(H, v, n)$  titik penghubung digantikan dengan subgraf  $K \subset H$  disebut dengan generalized shackle, dan dinotasikan dengan  $G = gshack(H, K \subset H, n)$ .*

Terdapat beberapa hasil penelitian pewarnaan sisi  $r$  dinamis sebelumnya, seperti Meganingtyas pada tesisnya melakukan pewarnaan sisi  $r$  dinamis pada graf khusus diantaranya yaitu graf lintasan ( $P_n$ ), graf sikel ( $C_n$ ), graf bintang ( $S_n$ ), graf roda ( $W_n$ ), graf friendship ( $F_n$ ), dan graf amalgamasi lintasan [5]. Pada penelitian ini, penulis akan mengangkat masalah bagaimana menemukan nilai kromatik pewarnaan sisi  $r$ -dinamis graf hasil operasi.

## Hasil Penelitian

Dari hasil penelitian ini didapatkan beberapa teorema terkait pewarnaan sisi  $r$ -dinamis pada graf hasil operasi. Teorema yang pertama adalah nilai kromatik pada pewarnaan sisi  $r$ -dinamis dari graf  $gshack(H_3, e, n)$  yang disajikan dalam teorema berikut.

**Teorema 1.** *Untuk  $n \geq 3$  bilangan kromatik sisi  $r$ -dinamis pada graf triangular ladder ( $TL_n$ ) adalah :*

$$\begin{aligned} \lambda(TL_n) &= \lambda_d(TL_n) = \lambda_3(TL_n) = 4 \\ \lambda_4(TL_n) &= 5 \\ \lambda_5(TL_n) &= 7 \\ \lambda_{r \geq 6}(TL_n) &= 9 \end{aligned}$$

**Bukti.** Graf  $TL_n$  dengan  $n \geq 3$  memiliki himpunan titik  $V(TL_n) = \{x_i, y_i; 1 \leq i \leq n+1\}$  dan himpunan sisi  $E(TL_n) = \{x_i x_{i+1}, y_i y_{i+1}; 1 \leq i \leq n\} \cup \{x_i y_i; 1 \leq i \leq n+1\} \cup \{x_i y_{i+1}; 1 \leq i \leq n\}$ .  $|V(TL_n)| = 2n + 2, |E(TL_n)| = 4n + 1$ , serta  $\Delta(TL_n) = 4$ .

**Kasus 1.** Berdasarkan Teorema 1 bahwa  $\Delta(TL_n) \leq \lambda(TL_n) \leq \Delta(TL_n) + 1$ , sehingga  $\lambda(TL_n) \geq 4$ . Selanjutnya ditunjukkan bahwa  $\lambda(TL_n) \leq 4$  dengan fungsi  $c_1$ . Misal  $D = \{1, 2, 3, \dots, k\}$  adalah himpunan dari  $k$ -warna dan  $c_1$  adalah fungsi yang memetakan setiap sisi ke setiap himpunan warna  $D$ ,  $c_1 : E(TL_n) \rightarrow D$  dengan  $n \geq 3$  fungsi pewarnaan sebagai berikut :

$$\begin{aligned} c_1(x_i y_i) &= 1, 1 \leq i \leq n + 1 \\ c_1(x_i x_{i+1}) &= \begin{cases} 3, 1 \leq i \leq n, i \text{ genap} \\ 4, 1 \leq i \leq n, i \text{ ganjil} \end{cases} \\ c_1(y_i y_{i+1}) &= \begin{cases} 4, 1 \leq i \leq n, i \text{ genap} \\ 3, 1 \leq i \leq n, i \text{ ganjil} \end{cases} \\ c_1(x_i y_{i+1}) &= 2, 1 \leq i \leq n \end{aligned}$$

Dari fungsi pewarnaan  $c_1$  terlihat bahwa bilangan kromatik sisi 1, 2, 3-dinamis ada-lah  $\lambda(TL_n) \leq 4$ . Karena  $\lambda(TL_n) \geq 4$  dan  $\lambda(TL_n) \leq 4$  sehingga dapat disimpulkan bahwa  $\lambda(TL_n) = \lambda_d(TL_n) = \lambda_3(TL_n) = 4$ .

**Kasus 2.** Berdasarkan Observasi 1 bahwa  $\lambda_4(TL_n) \geq \lambda_3(TL_n)$ , maka  $\lambda_4(TL_n) \geq 4$ . Misal  $\lambda_4(TL_n) = 4$  maka pewarnaan sisinya adalah  $c_1$ . Andaikan untuk  $x_1 x_2$ ,  $|c(N(e))| = 3$  dan  $\min\{r, d(u) + d(v) - 2\} = \min\{4, 5\} = 4$ , menurut Definisi 1  $|c(N(e))| \geq \min\{r, d(u) + d(v) - 2\}$ , sehingga  $|c(N(e))| \not\geq \min\{r, d(u) + d(v) - 2\}$  tidak memenuhi definisi tersebut. Jadi batas bawah yang lebih baik yaitu  $\lambda_4(TL_n) \geq 5$ . Selanjutnya ditunjukkan bahwa  $\lambda_4(TL_n) \leq 5$  dengan fungsi  $c_2$ . Misal  $D = \{1, 2, 3, \dots, k\}$  adalah himpunan dari  $k$ -warna dan  $c_2$  adalah fungsi yang memetakan setiap sisi ke setiap himpunan warna  $D$ ,  $c_2 : E(TL_n) \rightarrow D$  dengan  $n \geq 3$  fungsi pewarnaan sebagai berikut :

$$\begin{aligned} c_2(x_i y_i) &= \begin{cases} 2, 1 \leq i \leq n + 1, i \equiv 0(\text{mod } 3) \\ 1, 1 \leq i \leq n + 1, i \equiv 1(\text{mod } 3) \\ 5, 1 \leq i \leq n + 1, i \equiv 2(\text{mod } 3) \end{cases} \\ c_2(x_i x_{i+1}) &= \begin{cases} 3, 1 \leq i \leq n, i \text{ genap}, \\ 4, 1 \leq i \leq n, i \text{ ganjil} \end{cases} \\ c_2(y_i y_{i+1}) &= \begin{cases} 4, 1 \leq i \leq n, i \text{ genap}, \\ 3, 1 \leq i \leq n, i \text{ ganjil}, \end{cases} \\ c_2(x_i y_{i+1}) &= \begin{cases} 5, 1 \leq i \leq n, i \equiv 0(\text{mod } 3), \\ 2, 1 \leq i \leq n, i \equiv 1(\text{mod } 3), \\ 1, 1 \leq i \leq n, i \equiv 2(\text{mod } 3), \end{cases} \end{aligned}$$

Dari fungsi pewarnaan  $c_2$  terlihat bahwa bilangan kromatik sisi 4-dinamis adalah  $\lambda_4(TL_n) \leq 5$ . Karena  $\lambda_4(TL_n) \geq 5$  dan  $\lambda_4(TL_n) \leq 5$  sehingga dapat disimpulkan bahwa  $\lambda_4(TL_n) = 5$ .

**Kasus 3.** Berdasarkan Observasi 1 bahwa  $\lambda_5(TL_n) \geq \lambda_4(TL_n)$ , maka  $\lambda_5(TL_n) \geq 5$ . Misal  $\lambda_5(TL_n) = 5$  maka pewarnaan sisinya adalah  $c_2$ . Andaikan untuk  $x_1 x_2$ ,  $|c(N(e))| = 4$  dan  $\min\{r, d(u) + d(v) - 2\} = \min\{5, 5\} = 5$ , menurut Definisi 1  $|c(N(e))| \geq \min\{r, d(u) + d(v) - 2\}$ , sehingga  $|c(N(e))| \not\geq \min\{r, d(u) + d(v) - 2\}$  tidak memenuhi definisi tersebut. Jadi batas bawah yang lebih baik yaitu  $\lambda_5(TL_n) \geq 6$ . Misal  $\lambda_5(TL_n) = 6$  maka pewarnaan sisinya pada figure 1. Andaikan untuk  $x_2 y_2$  (lihat

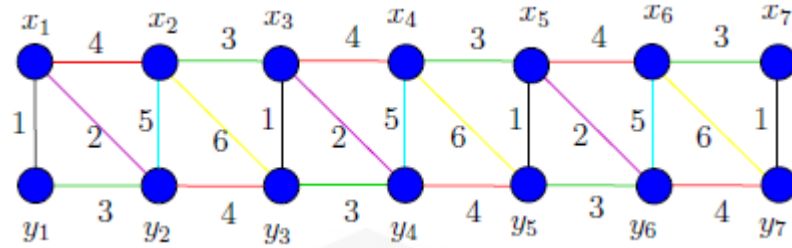


Figure 1: Pewarnaan Sisi 5-dinamis pada  $TL_6$  dengan 6 warna

figure 1),  $|c(N(e))| = 4$  dan  $\min\{r, d(u) + d(v) - 2\} = \min\{5, 6\} = 5$ , menurut Definisi 1  $|c(N(e))| \geq \min\{r, d(u) + d(v) - 2\}$ , sehingga  $|c(N(e))| \not\geq \min\{r, d(u) + d(v) - 2\}$  tidak memenuhi definisi tersebut. Jadi batas bawah yang lebih baik yaitu  $\lambda_5(TL_n) \geq 7$ .

Selanjutnya ditunjukkan bahwa  $\lambda_5(TL_n) \leq 7$  dengan fungsi  $c_3$ . Misal  $D = \{1, 2, 3, \dots, k\}$  adalah himpunan dari  $k$ -warna dan  $c_1$  adalah fungsi yang memetakan setiap sisi ke setiap himpunan warna  $D$ ,  $c_3 : E(TL_n) \rightarrow D$  dengan  $n \geq 3$  fungsi pewarnaan sebagai berikut :

$$c_3(x_i y_i) = \begin{cases} 5, & 1 \leq i \leq n + 1, i \text{ genap} \\ 1, & 1 \leq i \leq n + 1, i \text{ ganjil} \end{cases}$$

$$c_3(x_i x_{i+1}) = \begin{cases} 3, & 1 \leq i \leq n, i \text{ genap} \\ 4, & 1 \leq i \leq n, i \text{ ganjil} \end{cases}$$

$$c_3(y_i y_{i+1}) = \begin{cases} 7, & 1 \leq i \leq n, i \text{ genap} \\ 3, & 1 \leq i \leq n, i \text{ ganjil} \end{cases}$$

$$c_3(x_i y_{i+1}) = \begin{cases} 6, & 1 \leq i \leq n, i \text{ genap}, \\ 2, & 1 \leq i \leq n, i \text{ ganjil}, \end{cases}$$

Dari fungsi pewarnaan  $c_3$  terlihat bahwa bilangan kromatik sisi 5-dinamis adalah  $\lambda_5(TL_n) \leq 7$ . Karena  $\lambda_5(TL_n) \geq 7$  dan  $\lambda_5(TL_n) \leq 7$  sehingga dapat disimpulkan bahwa  $\lambda_5(TL_n) = 7$ .

**Kasus 4.** Berdasarkan Observasi 1 bahwa  $\lambda_6(TL_n) \geq \lambda_5$ , maka  $\lambda_6(TL_n) \geq 7$ . Misal  $\lambda_6(TL_n) = 7$  maka pewarnaan sisinya adalah  $c_3$ . Andaikan  $x_2 y_2$ ,  $|c(N(e))| = 5$  dan  $\min\{r, d(u) + d(v) - 2\} = \min\{6, 6\} = 6$ , menurut Definisi 1  $|c(N(e))| \geq \min\{r, d(u) + d(v) - 2\}$ , sehingga  $|c(N(e))| \not\geq \min\{r, d(u) + d(v) - 2\}$  tidak memenuhi definisi tersebut. Jadi batas bawah yang lebih baik yaitu  $\lambda_6(TL_n) \geq 8$ . Misal  $\lambda_6(TL_n) = 8$  maka pewarnaan sisinya pada figure 2. Andaikan untuk  $y_2 y_3$  (lihat figure 2),  $|c(N(e))| = 5$  dan  $\min\{r, d(u) + d(v) - 2\} = \min\{6, 6\} = 6$ , menurut Definisi 1  $|c(N(e))| \geq \min\{r, d(u) + d(v) - 2\}$ , sehingga  $|c(N(e))| \not\geq \min\{r, d(u) + d(v) - 2\}$  tidak memenuhi definisi tersebut. Jadi batas bawah yang lebih baik yaitu  $\lambda_6(TL_n) \geq 9$ .

Selanjutnya ditunjukkan bahwa  $\lambda_6(TL_n) \leq 9$  dengan fungsi  $c_4$ . Misal  $D = \{1, 2, 3, \dots, k\}$  adalah himpunan dari  $k$ -warna dan  $c_1$  adalah fungsi yang memetakan setiap sisi ke setiap himpunan warna  $D$ ,  $c_4 : E(TL_n) \rightarrow D$  dengan  $n \geq 3$  fungsi pewarnaan sebagai berikut :

$$c_4(x_i y_i) = \begin{cases} 5, & 1 \leq i \leq n + 1, i \text{ genap} \\ 1, & 1 \leq i \leq n + 1, i \text{ ganjil} \end{cases}$$

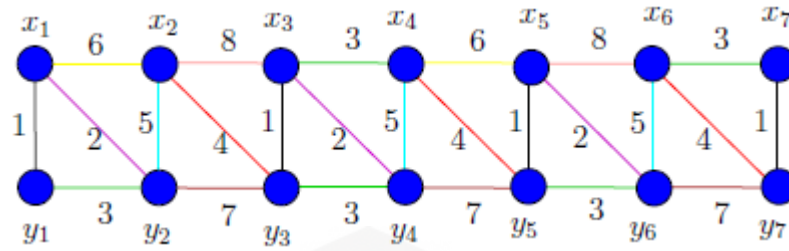


Figure 2: Pewarnaan sisi 6-dinamis dengan pada  $TL_6$  dengan 8 warna

$$c_4(x_i x_{i+1}) = \begin{cases} 9, 1 \leq i \leq n, i \equiv 0(\text{mod } 5) \\ 6, 1 \leq i \leq n, i \equiv 1(\text{mod } 5) \\ 8, 1 \leq i \leq n, i \equiv 2(\text{mod } 5) \\ 3, 1 \leq i \leq n, i \equiv 3(\text{mod } 5) \\ 7, 1 \leq i \leq n, i \equiv 4(\text{mod } 5) \end{cases}$$

$$c_4(y_i y_{i+1}) = \begin{cases} 8, 1 \leq i \leq n, i \equiv 0(\text{mod } 5) \\ 3, 1 \leq i \leq n, i \equiv 1(\text{mod } 5) \\ 7, 1 \leq i \leq n, i \equiv 2(\text{mod } 5) \\ 9, 1 \leq i \leq n, i \equiv 3(\text{mod } 5) \\ 6, 1 \leq i \leq n, i \equiv 4(\text{mod } 5) \end{cases}$$

$$c_4(x_i y_{i+1}) = \begin{cases} 4, 1 \leq i \leq n, i \text{ genap,} \\ 2, 1 \leq i \leq n, i \text{ ganjil,} \end{cases}$$

Dari fungsi pewarnaan  $c_4$  terlihat bahwa bilangan kromatik sisi 6-dinamis adalah  $\lambda_6(TL_n) \leq 9$ . Karena  $\lambda_6(TL_n) \geq 9$  dan  $\lambda_6(TL_n) \leq 9$  sehingga dapat simpulkan bahwa  $\lambda_6(TL_n) = 9$ . Pada graf *triangular ladder* ( $TL_n$ ) nilai dari  $\max\{d(u) + d(v) - 2, uv \in E(G)\} = 6$ . Dengan demikian fungsi pewarnaan  $c_4$  juga berlaku untuk  $r$  lainnya, dimana  $r \geq 6$ . Hal ini disebabkan pada saat  $r \geq 6$  nilai  $\min\{r, \max\{d(v) + d(u) - 2, uv \in E(G)\}\} = \max\{d(u) + d(v) - 2, uv \in E(G)\} = 6$ . Oleh karena itu, nilai bilangan kromatik dinamis  $\lambda_{r \geq 6}(TL_n) = \lambda_6(TL_n) = 9$ . Berdasarkan uraian diatas Teorema 1 terbukti.  $\square$

**Teorema 2.** Untuk  $n \geq 3$ , bilangan kromatik sisi  $r$ -dinamis pada graf tangga tiga siklus ( $TCL_n$ ) adalah :

$$\begin{aligned} \lambda(TCL_n) &= \lambda_d(TCL_n) = \lambda_3(TCL_n) = \lambda_4(TCL_n) = 5 \\ \lambda_5(TCL_n) &= 7 \\ \lambda_6(TCL_n) &= 9 \\ \lambda_7(TCL_n) &= 11 \\ \lambda_{r \geq 8}(TCL_n) &= 12 \end{aligned}$$

**Bukti.** Graf  $TCL_n$  dengan  $n \geq 3$  memiliki himpunan titik  $V(TCL_n) = \{x_i, y_i; 1 \leq i \leq n + 1\} \cup \{z_i; 1 \leq i \leq n\}$  dan himpunan sisi  $E(TCL_n) = \{x_i z_i, y_i z_i; 1 \leq i \leq n\} \cup \{x_{i+1} z_i, y_{i+1} z_i; 1 \leq i \leq n\} \cup \{x_i y_i; 1 \leq i \leq n + 1\} \cup \{y_i y_{i+1}; 1 \leq i \leq n\}$ .  $|V(TCL_n)| = 3n + 2, |E(TCL_n)| = 6n + 1$ , serta  $\Delta(TCL_n) = 5$ .

**Kasus 1.** Berdasarkan Teorema 1 bahwa  $\Delta(TCL_n) \leq \lambda(TCL_n) \leq \Delta(TCL_n) + 1$ , sehingga  $\lambda(TCL_n) \geq 5$ . Selanjutnya ditunjukkan bahwa  $\lambda(TCL_n) \leq 5$  dengan fungsi



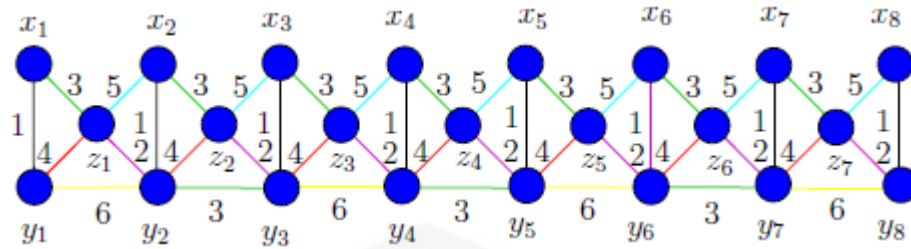


Figure 3: Pewarnaan sisi 5-dinamis pada  $TCL_7$  dengan 6 warna

$c_5$ . Misal  $D = \{1, 2, 3, \dots, k\}$  adalah himpunan dari  $k$ -warna dan  $c_5$  adalah fungsi yang memetakan setiap sisi ke setiap himpunan warna  $D$ ,  $c_5 : E(TCL_n) \rightarrow D$  dengan  $n \geq 3$  fungsi pewarnaan sebagai berikut :

$$c_5(x_1y_1, x_2y_2, \dots, x_ny_n, x_{n+1}y_{n+1}) = 11 \dots 11$$

$$c_5(x_1z_1, x_2z_2, \dots, x_nz_n) = 33 \dots 33$$

$$c_5(y_1z_1, y_2z_2, \dots, y_nz_n) = 44 \dots 44$$

$$c_5(x_2z_1, x_3z_2, \dots, x_nz_{n-1}, x_{n+1}z_n) = \begin{cases} 52 \dots 52, & n \text{ genap} \\ 52 \dots 52 5, & n \text{ ganjil} \end{cases}$$

$$c_5(y_2z_1, y_3z_2, \dots, y_nz_{n-1}, y_{n+1}z_n) = \begin{cases} 25 \dots 25, & n \text{ genap} \\ 25 \dots 25 2, & n \text{ ganjil} \end{cases}$$

$$c_5(y_1y_2, y_2y_3, \dots, y_{n-1}y_n, y_ny_{n+1}) = \begin{cases} 53 \dots 53, & n \text{ genap} \\ 53 \dots 53 5, & n \text{ ganjil} \end{cases}$$

Dari fungsi pewarnaan  $c_5$  terlihat bahwa bilangan kromatik sisi 1, 2, 3, 4-dinamis adalah  $\lambda(TCL_n) \leq 5$ . Karena  $\lambda(TCL_n) \geq 5$  dan  $\lambda(TCL_n) \leq 5$  sehingga dapat disimpulkan bahwa  $\lambda(TCL_n) = \lambda_d(TCL_n) = \lambda_3(TCL_n) = \lambda_4(TCL_n) = 5$ .

**Kasus 2.** Berdasarkan Observasi 1 bahwa  $\lambda_5(TCL_n) \geq \lambda_4(TCL_n)$ , maka  $\lambda_5(TCL_n) \geq 5$ . Misal  $\lambda_5(TCL_n) = 5$  maka pewarnaan sisinya adalah  $c_5$ . Andaikan untuk  $y_1z_1$ ,  $|c(N(e))| = 4$  dan  $\min\{r, d(u) + d(v) - 2\} = \min\{5, 5\} = 5$ , menurut Definisi 1  $|c(N(e))| \geq \min\{r, d(u) + d(v) - 2\}$ , sehingga  $|c(N(e))| \not\geq \min\{r, d(u) + d(v) - 2\}$  tidak memenuhi definisi tersebut. Jadi batas bawah yang lebih baik yaitu  $\lambda_5(TCL_n) \geq 6$ . Misal  $\lambda_5(TCL_n) = 6$  maka pewarnaan sisinya pada Figure 3. Andaikan untuk  $x_2z_1$  (lihat Figure 3),  $|c(N(e))| = 4$  dan  $\min\{r, d(u) + d(v) - 2\} = \min\{5, 5\} = 5$ , menurut Definisi 1  $|c(N(e))| \geq \min\{r, d(u) + d(v) - 2\}$ , sehingga  $|c(N(e))| \not\geq \min\{r, d(u) + d(v) - 2\}$  tidak memenuhi definisi tersebut. Jadi batas bawah yang lebih baik yaitu  $\lambda_5(TCL_n) \geq 7$ .

Selanjutnya ditunjukkan bahwa  $\lambda_5(TCL_n) \leq 7$  dengan fungsi  $c_6$ . Misal  $D = \{1, 2, 3, \dots, k\}$  adalah himpunan dari  $k$ -warna dan  $c_6$  adalah fungsi yang memetakan setiap sisi ke setiap himpunan warna  $D$ ,  $c_6 : E(TCL_n) \rightarrow D$  dengan  $n \geq 3$  fungsi pewarnaan sebagai berikut :

$$c_6(x_1y_1, x_2y_2, \dots, x_ny_n, x_{n+1}y_{n+1}) = \begin{cases} 176523 \dots 176523, & n \equiv 5 \pmod{6} \\ 176523 \dots 176523 1, & n \equiv 0 \pmod{6} \\ 176523 \dots 176523 17, & n \equiv 1 \pmod{6} \\ 176523 \dots 176523 176, & n \equiv 2 \pmod{6} \\ 176523 \dots 176523 1765, & n \equiv 3 \pmod{6} \\ 176523 \dots 176523 17652, & n \equiv 4 \pmod{6} \end{cases}$$

$$c_6(x_1z_1, x_2z_2, \dots, x_nz_n) = \begin{cases} 317652 \dots 317652, n \equiv 0(\text{mod } 6) \\ 317652 \dots 317652 \ 3, n \equiv 1(\text{mod } 6) \\ 317652 \dots 317652 \ 31, n \equiv 2(\text{mod } 6) \\ 317652 \dots 317652 \ 317, n \equiv 3(\text{mod } 6) \\ 317652 \dots 317652 \ 3176, n \equiv 4(\text{mod } 6) \\ 317652 \dots 317652 \ 31765, n \equiv 5(\text{mod } 6) \end{cases}$$

$$c_6(y_1z_1, y_2z_2, \dots, y_nz_n) = 44 \dots 44$$

$$c_6(x_2z_1, x_3z_3, \dots, x_nz_{n-1}, x_{n+1}z_n) = \begin{cases} 523176 \dots 523176, n \equiv 0(\text{mod } 6) \\ 523176 \dots 523176 \ 5, n \equiv 1(\text{mod } 6) \\ 523176 \dots 523176 \ 52, n \equiv 2(\text{mod } 6) \\ 523176 \dots 523176 \ 523, n \equiv 3(\text{mod } 6) \\ 523176 \dots 523176 \ 5231, n \equiv 4(\text{mod } 6) \\ 523176 \dots 523176 \ 52317, n \equiv 5(\text{mod } 6) \end{cases}$$

$$c_6(y_2z_1, y_3z_2, \dots, y_nz_{n-1}, y_{n+1}z_n) = \begin{cases} 231765 \dots 231765, n \equiv 0(\text{mod } 6) \\ 231765 \dots 231765 \ 2, n \equiv 1(\text{mod } 6) \\ 231765 \dots 231765 \ 23, n \equiv 2(\text{mod } 6) \\ 231765 \dots 231765 \ 231, n \equiv 3(\text{mod } 6) \\ 231765 \dots 231765 \ 2317, n \equiv 4(\text{mod } 6) \\ 231765 \dots 231765 \ 23176, n \equiv 5(\text{mod } 6) \end{cases}$$

$$c_6(y_1y_2, y_2y_3, \dots, y_{n-1}y_n, y_ny_{n+1}) = \begin{cases} 652317 \dots 652317, n \equiv 0(\text{mod } 6) \\ 652317 \dots 652317 \ 6, n \equiv 1(\text{mod } 6) \\ 652317 \dots 652317 \ 65, n \equiv 2(\text{mod } 6) \\ 652317 \dots 652317 \ 652, n \equiv 3(\text{mod } 6) \\ 652317 \dots 652317 \ 6523, n \equiv 4(\text{mod } 6) \\ 652317 \dots 652317 \ 65231, n \equiv 5(\text{mod } 6) \end{cases}$$

Dari fungsi pewarnaan  $c_6$  terlihat bahwa bilangan kromatik sisi 5-dinamis adalah  $\lambda_5(TCL_n) \leq 7$ . Karena  $\lambda_5(TCL_n) \geq 7$  dan  $\lambda_5(TCL_n) \leq 7$  sehingga dapat disimpulkan bahwa  $\lambda_5(TCL_n) = 7$ .

**Kasus 3.** Berdasarkan Observasi 1 bahwa  $\lambda_6(TCL_n) \geq \lambda_5(TCL_n)$ , maka  $\lambda_6(TCL_n) \geq 7$ . Misal  $\lambda_6(TCL_n) = 7$  maka pewarnaan sisinya adalah  $c_6$ . Andaikan untuk  $x_2y_2$ ,  $|c(N(e))| = 5$  dan  $\min\{r, d(u) + d(v) - 2\} = \min\{6, 6\} = 6$ , menurut Definisi 1  $|c(N(e))| \geq \min\{r, d(u) + d(v) - 2\}$ , sehingga  $|c(N(e))| \not\geq \min\{r, d(u) + d(v) - 2\}$  tidak memenuhi definisi tersebut. Jadi batas bawah yang lebih baik yaitu  $\lambda_6(TCL_n) \geq 8$ . Misal  $\lambda_6(TCL_n) = 8$  maka pewarnaan sisinya pada Figure 4. Andaikan untuk  $x_3y_3$  (Figure 4),  $|c(N(e))| = 5$  dan  $\min\{r, d(u) + d(v) - 2\} = \min\{6, 6\} = 6$ , menurut Definisi 1  $|c(N(e))| \geq \min\{r, d(u) + d(v) - 2\}$ , sehingga  $|c(N(e))| \not\geq \min\{r, d(u) + d(v) - 2\}$  tidak memenuhi definisi tersebut. Jadi batas bawah yang lebih baik yaitu  $\lambda_6(TCL_n) \geq 9$ .

Selanjutnya ditunjukkan bahwa  $\lambda_6(TCL_n) \leq 9$  dengan fungsi  $c_7$ . Misal  $D = \{1, 2, 3, \dots, k\}$  adalah himpunan dari  $k$ -warna dan  $c_7$  adalah fungsi yang memetakan setiap sisi ke setiap himpunan warna  $D$ ,  $c_7 : E(TCL_n) \rightarrow D$  dengan  $n \geq 3$  fungsi pewarnaan sebagai berikut :

$$c_7(x_1y_1, x_2y_2, \dots, x_ny_n, x_{n+1}y_{n+1}) = \begin{cases} 176 \dots 176, n \equiv 2(\text{mod } 3) \\ 176 \dots 176 \ 1, n \equiv 0(\text{mod } 3) \\ 176 \dots 176 \ 17, n \equiv 1(\text{mod } 3) \end{cases}$$

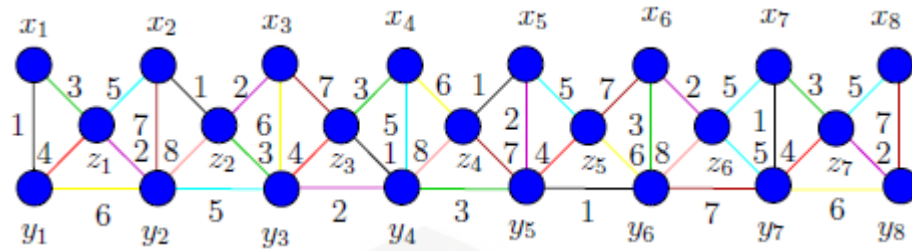


Figure 4: Pewarnaan sisi 6-dinamis pada  $TCL_7$  dengan 8 warna

$$c_7(x_1z_1, x_2z_2, \dots, x_nz_n) = \begin{cases} 312 \dots 312, & n \equiv 0(\text{mod } 3) \\ 312 \dots 312 3, & n \equiv 1(\text{mod } 3) \\ 312 \dots 312 31, & n \equiv 2(\text{mod } 3) \end{cases}$$

$$c_7(y_1z_1, y_2z_2, \dots, y_nz_n) = \begin{cases} 487 \dots 487, & n \equiv 0(\text{mod } 3) \\ 487 \dots 487 4, & n \equiv 1(\text{mod } 3) \\ 487 \dots 487 48, & n \equiv 2(\text{mod } 3) \end{cases}$$

$$c_7(x_2z_1, x_3z_2, \dots, x_nz_{n-1}, x_{n+1}z_n) = \begin{cases} 548 \dots 548, & n \equiv 0(\text{mod } 3) \\ 548 \dots 548 5, & n \equiv 1(\text{mod } 3) \\ 548 \dots 548 54, & n \equiv 2(\text{mod } 3) \end{cases}$$

$$c_7(y_2z_1, y_3z_2, \dots, y_nz_{n-1}, y_{n+1}z_n) = \begin{cases} 239 \dots 239, & n \equiv 0(\text{mod } 3) \\ 239 \dots 239 2, & n \equiv 1(\text{mod } 3) \\ 239 \dots 239 23, & n \equiv 2(\text{mod } 3) \end{cases}$$

$$c_7(y_1y_2, y_2y_3, \dots, y_{n-1}y_n, y_ny_{n+1}) = \begin{cases} 695 \dots 695, & n \equiv 0(\text{mod } 3) \\ 695 \dots 695 6, & n \equiv 1(\text{mod } 3) \\ 695 \dots 695 69, & n \equiv 2(\text{mod } 3) \end{cases}$$

Dari fungsi pewarnaan  $c_7$  terlihat bahwa bialangan kromatik sisi 6-dinamis adalah  $\lambda_6(TCL_n) \leq 9$ . Karena  $\lambda_6(TCL_n) \geq 9$  dan  $\lambda_6(TCL_n) \leq 9$  sehingga dapat disimpulkan bahwa  $\lambda_6(G) = 9$ .

**Kasus 4.** Berdasarkan Observasi 1 bahwa  $\lambda_7(TCL_n) \geq \lambda_6(TCL_n)$ , maka  $\lambda_7(TCL_n) \geq 9$ . Misal  $\lambda_7(TCL_n) = 9$  maka pewarnaan sisinya adalah  $c_7$ . Andaikan untuk  $y_3z_3$ ,  $|c(N(e))| = 6$  dan  $\min\{r, d(u) + d(v) - 2\} = \min\{7, 7\} = 7$ , menurut Definisi 1  $|c(N(e))| \geq \min\{r, d(u) + d(v) - 2\}$ , sehingga  $|c(N(e))| \not\geq \min\{r, d(u) + d(v) - 2\}$  tidak memenuhi definisi tersebut. Jadi batas bawah yang lebih baik yaitu  $\lambda_7(TCL_n) \geq 10$ . Misal  $\lambda_7(TCL_n) = 10$  maka pewarnaan sisinya pada Figure 5. Andaikan untuk  $y_4z_3$  (Figure 5),  $|c(N(e))| = 6$  dan  $\min\{r, d(u) + d(v) - 2\} = \min\{7, 7\} = 7$ , menurut Definisi 1  $|c(N(e))| \geq \min\{r, d(u) + d(v) - 2\}$ , sehingga  $|c(N(e))| \not\geq \min\{r, d(u) + d(v) - 2\}$  tidak memenuhi definisi tersebut. Jadi batas bawah yang lebih baik yaitu  $\lambda_7(TCL_n) \geq 11$ .

Selanjutnya ditunjukkan bahwa  $\lambda_7(TCL_n) \leq 11$  dengan mewarnai  $c_8$ . Misal  $D = \{1, 2, 3, \dots, k\}$  adalah himpunan dari  $k$ -warna dan  $c_8$  adalah fungsi yang memetakan setiap sisi ke setiap himpunan warna  $D$ ,  $c_8 : E(TCL_n) \rightarrow D$  dengan  $n \geq 3$  fungsi pewarnaan sebagai berikut :

$$c_8(x_1y_1, x_2y_2, \dots, x_ny_n, x_{n+1}y_{n+1}) = \begin{cases} 175 \dots 175, & n \equiv 2(\text{mod } 3) \\ 175 \dots 175 1, & n \equiv 0(\text{mod } 3) \\ 175 \dots 175 17, & n \equiv 1(\text{mod } 3) \end{cases}$$

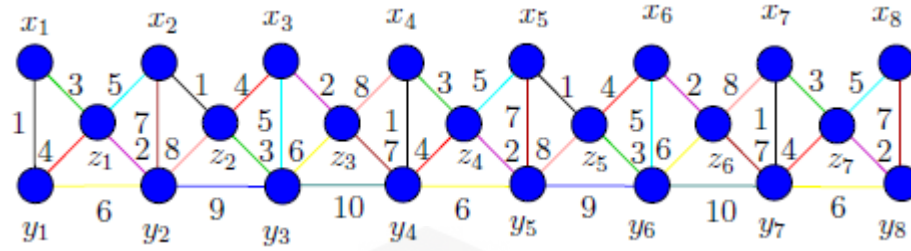


Figure 5: Pewarnaan sisi 7-dinamis pada  $TCL_6$  dengan 10 warna

$$c_8(x_1z_1, x_2z_2, \dots, x_nz_n) = \begin{cases} 312 \dots 312, & n \equiv 0(\text{mod } 3) \\ 312 \dots 312 3, & n \equiv 1(\text{mod } 3) \\ 312 \dots 312 31, & n \equiv 2(\text{mod } 3) \end{cases}$$

$$c_8(y_1z_1, y_2z_2, \dots, y_nz_n) = \begin{cases} 486 \dots 486, & n \equiv 0(\text{mod } 3) \\ 486 \dots 486 4, & n \equiv 1(\text{mod } 3) \\ 486 \dots 486 48, & n \equiv 2(\text{mod } 3) \end{cases}$$

$$c_8(x_2z_1, x_3z_2, \dots, x_nz_{n-1}, x_{n+1}z_n) = \begin{cases} 548 \dots 548, & n \equiv 0(\text{mod } 3) \\ 548 \dots 548 5, & n \equiv 1(\text{mod } 3) \\ 548 \dots 548 54, & n \equiv 2(\text{mod } 3) \end{cases}$$

$$c_8(y_2z_1, y_3z_2, \dots, y_nz_{n-1}, y_{n+1}z_n) = \begin{cases} 23(11) \dots 23(11), & n \equiv 0(\text{mod } 3) \\ 23(11) \dots 23(11) 2, & n \equiv 1(\text{mod } 3) \\ 23(11) \dots 23(11) 23, & n \equiv 2(\text{mod } 3) \end{cases}$$

$$c_8(y_1y_2, y_2y_3, \dots, y_{n-1}y_n, y_ny_{n+1}) = \begin{cases} 69(10) \dots 69(10), & n \equiv 0(\text{mod } 3) \\ 69(10) \dots 69(10) 6, & n \equiv 1(\text{mod } 3) \\ 69(10) \dots 69(10) 69, & n \equiv 2(\text{mod } 3) \end{cases}$$

Dari fungsi pewarnaan  $c_8$  terlihat bahwa bilangan kromatik sisi 7-dinamis adalah  $\lambda_7(TCL_n) \leq 11$ . Karena  $\lambda_7(TCL_n) \geq 11$  dan  $\lambda_7(TCL_n) \leq 7$  sehingga dapat disimpulkan bahwa  $\lambda_7(TCL_n) = 11$ .

**Kasus 5.** Berdasarkan Observasi 1 bahwa  $\lambda_8(TCL_n) \geq \lambda_7(TCL_n)$ , maka  $\lambda_8(TCL_n) \geq 11$ . Misal  $\lambda_8(TCL_n) = 11$  maka pewarnaan sisinya adalah  $c_8$ . Andaikan untuk  $y_3y_4$  (lihat Gambar 4.13),  $|c(N(e))| = 7$  dan  $\min\{r, d(u) + d(v) - 2\} = \min\{8, 8\} = 8$ , menurut Definisi 1  $|c(N(e))| \geq \min\{r, d(u) + d(v) - 2\}$ , sehingga  $|c(N(e))| \not\geq \min\{r, d(u) + d(v) - 2\}$  tidak memenuhi definisi tersebut. Jadi batas bawah yang lebih baik yaitu  $\lambda_8(TCL_n) \geq 12$ . Selanjutnya ditunjukkan bahwa  $\lambda_8(TCL_n) \leq 12$  dengan fungsi  $c_9$ . Misal  $D = \{1, 2, 3, \dots, k\}$  adalah himpunan dari  $k$ -warna dan  $c_9$  adalah fungsi yang memetakan setiap sisi ke setiap himpunan warna  $D$ ,  $c_9 : E(TCL_n) \rightarrow D$  dengan  $n \geq 3$ , fungsi pewarnaan sebagai berikut :

$$c_9(x_1y_1, x_2y_2, \dots, x_ny_n, x_{n+1}y_{n+1}) = \begin{cases} 175 \dots 175, & n \equiv 2(\text{mod } 3) \\ 175 \dots 175 1, & n \equiv 0(\text{mod } 3) \\ 175 \dots 175 17, & n \equiv 1(\text{mod } 3) \end{cases}$$

$$c_9(x_1y_1, x_2y_2, \dots, x_nz_n) = \begin{cases} 312 \dots 312, & n \equiv 0(\text{mod } 3) \\ 312 \dots 312 3, & n \equiv 1(\text{mod } 3) \\ 312 \dots 312 31, & n \equiv 2(\text{mod } 3) \end{cases}$$



$$c_9(y_1z_1, y_2z_2, \dots, y_nz_n) = \begin{cases} 48(12) \dots 48(12), & n \equiv 0(\text{mod } 3) \\ 48(12) \dots 48(12) 4, & n \equiv 1(\text{mod } 3) \\ 48(12) \dots 48(12) 48, & n \equiv 2(\text{mod } 3) \end{cases}$$

$$c_9(x_2z_1, x_3z_2, \dots, x_nz_{n-1}, x_{n+1}z_n) = \begin{cases} 548 \dots 548, & n \equiv 0(\text{mod } 3) \\ 548 \dots 548 5, & n \equiv 1(\text{mod } 3) \\ 548 \dots 548 54, & n \equiv 2(\text{mod } 3) \end{cases}$$

$$c_9(y_2z_1, y_3z_2, \dots, y_nz_{n-1}, y_{n+1}z_n) = \begin{cases} 23(11) \dots 23(11), & n \equiv 0(\text{mod } 3) \\ 23(11) \dots 23(11) 2, & n \equiv 1(\text{mod } 3) \\ 23(11) \dots 23(11) 23, & n \equiv 2(\text{mod } 3) \end{cases}$$

$$c_9(y_1y_2, y_2y_3, \dots, y_{n-1}y_n, y_ny_{n+1}) = \begin{cases} 69(10) \dots 69(10), & n \equiv 0(\text{mod } 3) \\ 69(10) \dots 69(10) 6, & n \equiv 1(\text{mod } 3) \\ 69(10) \dots 69(10) 69, & n \equiv 2(\text{mod } 3) \end{cases}$$

Dari fungsi pewarnaan  $c_9$  terlihat bahwa bilangan kromatik sisi 8-dinamis adalah  $\lambda_8(TCL_n) \leq 12$ . Karena  $\lambda_8(TCL_n) \geq 12$  dan  $\lambda_8(TCL_n) \leq 12$  sehingga dapat simpulkan bahwa  $\lambda_8(TCL_n) = 12$ . Pada graf tangga tiga siklus ( $TCL_n$ ) nilai dari  $\max\{d(u) + d(v) - 2, uv \in E(G)\} = 8$ . Sehingga fungsi pewarnaan  $c_9$  juga berlaku untuk  $r$  lainnya, dengan  $r \geq 8$ . Hal ini disebabkan pada saat  $r \geq 8$  nilai  $\min\{r, \max\{d(u) + d(v) - 2, uv \in E(G)\}\} = \max\{d(u) + d(v) - 2, uv \in E(G)\} = 8$ . Oleh karena itu, nilai bilangan kromatik dinamis  $\lambda_{r \geq 8}(TCL_n) = \lambda_8(TCL_n) = 12$ . Berdasarkan uraian diatas Teorema 2 terbukti.  $\square$

**Teorema 3.** Untuk  $n \geq 3$  bilangan kromatik sisi  $r$ -dinamis pada graf  $G = shack(H_{2,2}, v, n)$  adalah :

$$\begin{aligned} \lambda(shack(H_{2,2}, v, n)) &= \lambda_d(shack(H_{2,2}, v, n)) = \lambda_3(shack(H_{2,2}, v, n)) = 4 \\ \lambda_4(shack(H_{2,2}, v, n)) &= 6 \\ \lambda_5(shack(H_{2,2}, v, n)) &= 7 \\ \lambda_{r \geq 6}(shack(H_{2,2}, v, n)) &= 8 \end{aligned}$$

**Bukti.**  $shack(H_{2,2}, v, n)$ , dengan  $n \geq 3$  memiliki himpunan titik dan himpunan sisi graf  $G = shack(H_{2,2}, v, n), n \geq 2$  adalah  $V(shack(H_{2,2}, v, n)) = \{x_i, z_i; 1 \leq i \leq n\} \cup \{y_i; 1 \leq i \leq n + 1\}$ ,  $E(shack(H_{2,2}, v, n)) = \{y_i z_i, x_i z_i, x_i y_{i+1}, y_i y_{i+1}; 1 \leq i \leq n\}$ ,  $|V(shack(H_{2,2}, v, n))| = 3n + 1$  dan  $|E(shack(H_{2,2}, v, n))| = 4n$ , serta  $\Delta(shack(H_{2,2}, v, n)) = 4$ .

**Kasus 1.** Berdasarkan Teorema 1 bahwa  $\Delta(shack(H_{2,2}, v, n)) \leq \lambda(shack(H_{2,2}, v, n)) \leq \Delta(shack(H_{2,2}, v, n)) + 1$ , sehingga  $\lambda(shack(H_{2,2}, v, n)) \geq 4$ . Selanjutnya ditunjukkan bahwa  $\lambda(shack(H_{2,2}, v, n)) \leq 4$  dengan fungsi  $c_{12}$ . Misal  $D = \{1, 2, 3, \dots, k\}$  adalah himpunan dari  $k$ -warna dan  $c_{12}$  adalah fungsi yang memetakan setiap sisi ke setiap himpunan warna  $D$ ,  $c_{10} : E(shack(H_{2,2}, v, n)) \rightarrow D$  dengan  $n \geq 3$  fungsi pewarnaan sebagai berikut :

$$c_{10}(y_1z_1, y_2z_2, \dots, y_nz_n) = 11 \dots 11,$$

$$c_{10}(y_1y_2, y_2y_3, \dots, y_{n-1}y_n, y_ny_{n+1}) = \begin{cases} 23 \dots 23, & n \text{ genap,} \\ 23 \dots 23 2, & n \text{ ganjil,} \end{cases}$$

$$c_{10}(x_1z_1, x_2z_2, \dots, x_nz_n) = \begin{cases} 32 \dots 32, & n \text{ genap,} \\ 32 \dots 32 3, & n \text{ ganjil,} \end{cases}$$

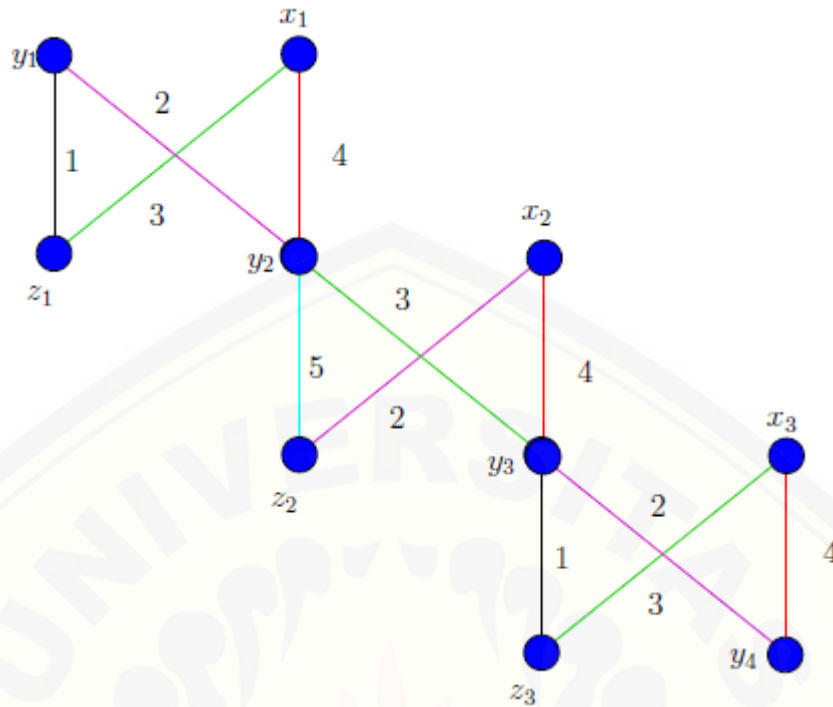


Figure 6: Pewarnaan sisi 4-dinamis pada  $shack(H_{2,2}, v, 3)$  dengan 5 warna

$$c_{10}(x_1y_2, x_2y_3, \dots, x_{n-1}y_n, x_ny_{n+1}) = 44 \dots 44,$$

Dari fungsi pewarnaan  $c_{10}$  terlihat bahwa bilangan kromatik sisi 1, 2, 3-dinamis adalah  $\lambda(shack(H_{2,2}, v, n)) \leq 4$ . Karena  $\lambda(shack(H_{2,2}, v, n)) \geq 4$  dan  $\lambda(shack(H_{2,2}, v, n)) \leq 4$  sehingga dapat disimpulkan bahwa  $\lambda(shack(H_{2,2}, v, n)) = \lambda_d(shack(H_{2,2}, v, n)) = \lambda_3(shack(H_{2,2}, v, n)) = 4$ .

**Kasus 2.** Berdasarkan Observasi 1 bahwa  $\lambda_4(shack(H_{2,2}, v, n)) \geq \lambda_3(shack(H_{2,2}, v, n))$ , maka  $\lambda_4(shack(H_{2,2}, v, n)) \geq 4$ . Misal  $\lambda_4(shack(H_{2,2}, v, n)) = 4$  maka pewarnaan sisinya adalah  $c_{12}$ . Andaikan untuk  $y_1y_2$ ,  $|c(N(e))| = 3$  dan  $\min\{r, d(u) + d(v) - 2\} = \min\{4, 4\} = 4$ , menurut Definisi 1  $|c(N(e))| \geq \min\{r, d(u) + d(v) - 2\}$ , sehingga  $|c(N(e))| \not\geq \min\{r, d(u) + d(v) - 2\}$  tidak memenuhi definisi tersebut. Jadi batas bawah yang lebih baik yaitu  $\lambda_4(shack(H_{2,2}, v, n)) \geq 5$ . Misal  $\lambda_5(shack(H_{2,2}, v, n)) = 5$  maka pewarnaan sisinya pada Figure 6. Andaikan untuk  $x_1y_2$  (lihat Figure 6),  $|c(N(e))| = 3$  dan  $\min\{r, d(u) + d(v) - 2\} = \min\{4, 4\} = 4$ , menurut Definisi 1  $|c(N(e))| \geq \min\{r, d(u) + d(v) - 2\}$ , sehingga  $|c(N(e))| \not\geq \min\{r, d(u) + d(v) - 2\}$  tidak memenuhi definisi tersebut. Jadi batas bawah yang lebih baik yaitu  $\lambda_4(shack(H_{2,2}, v, n)) \geq 6$ .

Selanjutnya ditunjukkan bahwa  $\lambda_4(shack(H_{2,2}, v, n)) \leq 6$  dengan fungsi  $c_{11}$ . Misal  $D = \{1, 2, 3, \dots, k\}$  adalah himpunan dari  $k$ -warna dan  $c_{11}$  adalah fungsi yang memetakan setiap sisi ke setiap himpunan warna  $D$ ,  $c_{11} : E(shack(H_{2,2}, v, n)) \rightarrow D$  dengan  $n \geq 3$  fungsi pewarnaan sebagai berikut :

$$c_{11}(y_1z_1, y_2z_2, \dots, y_nz_n) = \begin{cases} 153 \dots 153, & n \equiv 0(\text{mod } 3), \\ 153 \dots 153 1, & n \equiv 1(\text{mod } 3), \\ 153 \dots 153 15, & n \equiv 2(\text{mod } 3), \end{cases}$$

$$c_{11}(y_1y_2, y_2y_3, \dots, y_{n-1}y_n, y_ny_{n+1}) = \begin{cases} 265 \dots 265, & n \equiv 0(\text{mod } 3), \\ 265 \dots 265 2, & n \equiv 1(\text{mod } 3), \\ 265 \dots 265 26, & n \equiv 2(\text{mod } 3), \end{cases}$$

$$c_{11}(x_1z_1, x_2z_2, \dots, x_nz_n) = \begin{cases} 314 \dots 314, & n \equiv 0(\text{mod } 3), \\ 314 \dots 314 3, & n \equiv 1(\text{mod } 3), \\ 314 \dots 314 31, & n \equiv 2(\text{mod } 3), \end{cases}$$

$$c_{11}(x_1y_2, x_2y_3, \dots, x_{n-1}y_n, x_ny_{n+1}) = \begin{cases} 426 \dots 426, & n \equiv 0(\text{mod } 3), \\ 426 \dots 426 4, & n \equiv 1(\text{mod } 3), \\ 426 \dots 426 42, & n \equiv 2(\text{mod } 3), \end{cases}$$

Dari fungsi pewarnaan  $c_{11}$  terlihat bahwa bilangan kromatik sisi 4-dinamis adalah  $\lambda_4(\text{shack}(H_{2,2}, v, n)) \leq 6$ . Karena  $\lambda_4(\text{shack}(H_{2,2}, v, n)) \geq 6$  dan  $\lambda_4(\text{shack}(H_{2,2}, v, n)) \leq 6$  maka dapat disimpulkan bahwa  $\lambda_4(\text{shack}(H_{2,2}, v, n)) = 6$ .

**Kasus 3.** Berdasarkan Observasi 1 bahwa  $\lambda_5(\text{shack}(H_{2,2}, v, n)) \geq \lambda_4(\text{shack}(H_{2,2}, v, n))$ , maka  $\lambda_5(\text{shack}(H_{2,2}, v, n)) \geq 6$ . Misal  $\lambda_5(\text{shack}(H_{2,2}, v, n)) = 6$  maka pewarnaan sisinya adalah  $c_{11}$ . Andaikan untuk  $y_2y_3$ ,  $|c(N(e))| = 4$  dan  $\min\{r, d(u) + d(v) - 2\} = \min\{5, 6\} = 5$ , menurut Definisi 1  $|c(N(e))| \geq \min\{r, d(u) + d(v) - 2\}$ , sehingga  $|c(N(e))| \not\geq \min\{r, d(u) + d(v) - 2\}$  tidak memenuhi definisi tersebut. Jadi batas bawah yang lebih baik yaitu  $\lambda_5(\text{shack}(H_{2,2}, v, n)) \geq 7$ . Selanjutnya ditunjukkan bahwa  $\lambda_5(\text{shack}(H_{2,2}, v, n)) \leq 7$  dengan fungsi  $c_{12}$ . Misal  $D = \{1, 2, 3, \dots, k\}$  adalah himpunan dari  $k$ -warna dan  $c_{14}$  adalah fungsi yang memetakan setiap sisi ke setiap himpunan warna  $D$ ,  $c_{12} : E(\text{shack}(H_{2,2}, v, n)) \rightarrow D$  dengan  $n \geq 3$  fungsi pewarnaan sebagai berikut :

$$c_{12}(y_1z_1, y_2z_2, \dots, y_nz_n) = \begin{cases} 15 \dots 15, & n \text{ genap}, \\ 15 \dots 15 1, & n \text{ ganjil}, \end{cases}$$

$$c_{12}(y_1y_2, y_2y_3, \dots, y_{n-1}y_n, y_ny_{n+1}) = \begin{cases} 26 \dots 26, & n \text{ genap}, \\ 26 \dots 26 2, & n \text{ ganjil}, \end{cases}$$

$$c_{12}(x_1z_1, x_2z_2, \dots, x_nz_n) = 33 \dots 33,$$

$$c_{12}(x_1y_2, x_2y_3, \dots, x_{n-1}y_n, x_ny_{n+1}) = \begin{cases} 47 \dots 47, & n \text{ genap}, \\ 47 \dots 47 4, & n \text{ ganjil}, \end{cases}$$

Dari fungsi pewarnaan  $c_{12}$  terlihat bahwa bilangan kromatik sisi 5-dinamis adalah  $\lambda_5(\text{shack}(H_{2,2}, v, n)) \leq 7$ . Karena  $\lambda_5(\text{shack}(H_{2,2}, v, n)) \geq 7$  dan  $\lambda_5(\text{shack}(H_{2,2}, v, n)) \leq 7$  maka dapat disimpulkan bahwa  $\lambda_5(\text{shack}(H_{2,2}, v, n)) = 7$ .

**Kasus 4.** Berdasarkan Observasi 1 bahwa  $\lambda_6(\text{shack}(H_{2,2}, v, n)) \geq \lambda_5(\text{shack}(H_{2,2}, v, n))$ , maka  $\lambda_6(\text{shack}(H_{2,2}, v, n)) \geq 7$ . Misal  $\lambda_6(\text{shack}(H_{2,2}, v, n)) = 7$  maka pewarnaan sisinya adalah  $c_{12}$ . Andaikan untuk  $y_2y_3$ ,  $|c(N(e))| = 5$  dan  $\min\{r, d(u) + d(v) - 2\} = \min\{6, 6\} = 6$ , menurut Definisi 1  $|c(N(e))| \geq \min\{r, d(u) + d(v) - 2\}$ , sehingga  $|c(N(e))| \not\geq \min\{r, d(u) + d(v) - 2\}$  tidak memenuhi definisi tersebut. Jadi batas bawah yang lebih baik yaitu  $\lambda_6(\text{shack}(H_{2,2}, v, n)) \geq 8$ . Selanjutnya ditunjukkan bahwa  $\lambda_6(\text{shack}(H_{2,2}, v, n)) \leq 8$  dengan fungsi  $c_{13}$ . Misal  $D = \{1, 2, 3, \dots, k\}$  adalah himpunan dari  $k$ -warna dan  $c_{13}$  adalah fungsi yang memetakan setiap sisi ke setiap himpunan

warna  $D$ ,  $c_{13} : E(\text{shack}(H_{2,2}, v, n)) \rightarrow D$  dengan  $n \geq 3$  fungsi pewarnaan sebagai berikut :

$$c_{13}(y_1z_1, y_2z_2, \dots, y_nz_n) = \begin{cases} 153 \dots 153, & n \equiv 0(\text{mod } 3), \\ 153 \dots 153 1, & n \equiv 1(\text{mod } 3), \\ 153 \dots 153 15, & n \equiv 2(\text{mod } 3), \end{cases}$$

$$c_{13}(y_1y_2, y_2y_3, \dots, y_{n-1}y_n, y_ny_{n+1}) = \begin{cases} 268 \dots 268, & n \equiv 0(\text{mod } 3), \\ 268 \dots 268 2, & n \equiv 1(\text{mod } 3), \\ 268 \dots 268 26, & n \equiv 2(\text{mod } 3), \end{cases}$$

$$c_{13}(x_1z_1, x_2z_2, \dots, x_nz_n) = \begin{cases} 314 \dots 314, & n \equiv 0(\text{mod } 3), \\ 314 \dots 314 3, & n \equiv 1(\text{mod } 3), \\ 314 \dots 314 31, & n \equiv 2(\text{mod } 3), \end{cases}$$

$$c_{13}(x_1y_2, x_2y_3, \dots, x_{n-1}y_n, x_ny_{n+1}) = \begin{cases} 475 \dots 475, & n \equiv 0(\text{mod } 3), \\ 475 \dots 475 4, & n \equiv 1(\text{mod } 3), \\ 475 \dots 475 47, & n \equiv 2(\text{mod } 3), \end{cases}$$

Dari pewarnaan  $c_{13}$  terlihat bahwa bilangan kromatik sisi 6-dinamis adalah  $\lambda_6(\text{shack}(H_{2,2}, v, n)) \leq 8$ . Karena  $\lambda_6(\text{shack}(H_{2,2}, v, n)) \geq 8$  dan  $\lambda_6(\text{shack}(H_{2,2}, v, n)) \leq 8$  sehingga dapat disimpulkan bahwa  $\lambda_6(\text{shack}(H_{2,2}, v, n)) = \lambda_r(\text{shack}(H_{2,2}, v, n)) = 8$ . Pada graf operasi sakel *cocktail party* ( $\text{shack}(H_{2,2}, v, n)$ ) nilai dari  $\max\{d(u) + d(v) - 2, uv \in E(G)\} = 6$ . Dengan demikian fungsi pewarnaan  $c_{13}$  juga berlaku untuk  $r$  lainnya, dengan  $r \geq 6$ . Hal ini disebabkan pada saat  $r \geq 6$  nilai  $\min\{r, \max\{d(u) + d(v) - 2, uv \in E(G)\}\} = \max\{d(u) + d(v) - 2, uv \in E(G)\} = 6$ . Oleh karena itu, nilai bilangan kromatik dinamis  $\lambda_{r \geq 6}(\text{shack}(H_{2,2}, v, n)) = \lambda_6(\text{shack}(H_{2,2}, v, n)) = 8$ . Berdasarkan uraian diatas Teorema 3 terbukti.  $\square$

## Kesimpulan

Berdasarkan hasil penelitian diatas, maka kita dapat menyimpulkan bahwa graf  $TL_n$  dengan  $n \geq 3$  diperoleh  $\lambda(TL_n) = \lambda_d(TL_n) = \lambda_3(TL_n) = 4, \lambda_4(TL_n) = 5, \lambda_5(TL_n) = 7, \lambda_{r \geq 6}(TL_n) = 9$ , dan graf  $TCL_n$  dengan  $n \geq 3$  diperoleh  $\lambda(TCL_n) = \lambda_d(TCL_n) = \lambda_3(TCL_n) = \lambda_4(TCL_n) = 5, \lambda_5(TCL_n) = 7, \lambda_6(TCL_n) = 9, \lambda_7(TCL_n) = 11, \lambda_{r \geq 8}(TCL_n) = 12$ , serta graf operasi sakel ( $\text{shack}(H_{2,2}, v, n)$ ) dengan  $n \geq 3, \lambda(\text{shack}(H_{2,2}, v, n)) = \lambda_d(\text{shack}(H_{2,2}, v, n)) = \lambda_3(\text{shack}(H_{2,2}, v, n)) = 4, \lambda_4(\text{shack}(H_{2,2}, v, n)) = 6, \lambda_5(\text{shack}(H_{2,2}, v, n)) = 7, \lambda_{r \geq 6}(\text{shack}(H_{2,2}, v, n)) = 8$ .

**Masalah terbuka 1** Tentukan nilai kromatik pewarnaan sisi  $r$ -dinamis dari graf khusus dan graf hasil operasi sakel graf yang lain. Tentukan bilangan kromatik pewarnaan sisi  $r$ -dinamis dari graf khusus Helm ( $H_n$ ) dan hasil operasi  $\text{shack}(H_{m,n}, v, n)$ .

## Referensi

[1] Chartrand, G dan Zhang, P. 2009. *Chromatic Graph Theory*. USA: CRC Press.



- [2] Dafik dan Meganingtyas. 2015. On Edge  $r$ -dynamic Coloring of Graphs. *Graph Master Workshop*. Universitas Jember.
- [3] Dafik, S. Setiawani, dan K.M.F. Azizah. Generalized Shackle of Fans is a Super  $(a,d)$ -Edge Antimagic Total Graph. *Applied Mathematical Sciences*, Submitted, 2015.
- [4] Kang, R., Muller, T., dan West, D. B. 2015. On  $r$ -Dynamic Coloring of Grids. *Discrete Applied Mathematics*. **186**: 286-290.
- [5] Meganingtyas, Devi E. 2015."Analisis Pewarnaan  $r$ -dinamis pada graf-graf khusus". Tidak Diterbitkan. Tesis. Jember: Universitas Jember.
- [6] Munir, Rinaldi. 2012. *Matematika Diskrit Edisi Kelima*. Bandung: Informatika.
- [7] Slamin. 2009.*Desain Jaringan : Pendekatan Teori Graf*. Jember: Universitas Jember.

